

九州大学 学生員 ○百田 敏也  
 正会員 神野 健二  
 " " 上田 年代吉

1. まえがき 地下水の人工かん養における目づまりは重要な問題とされていいるが、また近年海岸埋立で始めにその外周に土砂で透過性堤体を築き、内部に投入されたりゅんせり埋立土の上層水が堤体を透過するときの堤体の除濁効果および目づまりが検討されていいる。目づまりには、微生物の繁殖による生物的目づまり<sup>(1), (2)</sup>、懸濁粒子の滞留による物理的目づまりが考えられるが、ここでは物理的目づまりについて検討することにして、懸濁粒子にガラスビーズを用ひ、垂直円筒による1次元の実験、および堤体による2次元の実験を行ひ、目づまりの発生機構を解明し、両者の相異などを若干考察して。

2. 1次元の実験 図-1の実験装置を用ひ、浸透層は粒径4.7mmのガラスビーズ(空げき率 $\varepsilon_0=0.373$ )、懸濁粒子は粒径0.5mmのガラスビーズ(比重 $S_p=2.47$  空げき率 $\varepsilon_p=0.382$  浸透層内の実倒立降速度 $U_p=1.3\text{cm/sec}$ )を用いて、滞留粒子量は次のようにして求めた。あらかじめ懸濁粒子と層全体に一様に滞留させ、その時の滞留粒子濃度と透水係数との関係を求めておく。次に懸濁水を浸透層に流入させてから、動水勾配と流量から得られる透水係数により時間毎の層内の滞留粒子量を求めた。図-2の点はこうして求めた浸透層の表面から10cmの区間の滞留粒子濃度 $N_b$ と浸透層単位体積当たりの重量 $\text{g/cm}^3$ である。ここに $N_b$ は流入濃度(水単位体積当たりの粒子重量 $\text{g/cm}^3$ )、 $\beta_1$ は粒子の滞留が懸濁粒子濃度 $N_a$ (水単位体積当たりの粒子重量 $\text{g/cm}^3$ )に比例すると、また図-2の点の時間変化から $N_b$ に限界が存在することが推定されることから、

$$\frac{dN_b}{dt} + (U + U_p) \frac{dN_b}{dy} = -\frac{\beta_1}{2} N_a (1 - \beta_1 N_b) \quad (1) \quad \frac{dN_b}{dt} = \beta_1 N_a (1 - \beta_1 N_b) \quad (2)$$

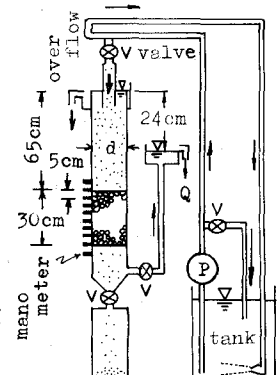


図-1 実験装置(1次元)

$U$ は実質流速、 $y$ はある時刻の浸透層空げき率、 $\beta_1, \beta_2$ は浸透層と懸濁粒子の特性及び流速などによつて決まる定数である。懸濁水流入初期では、(2)式の $1 - \beta_1 N_b \approx 0$ 、 $N_a = N_b$ と $1 - \frac{1}{2} \frac{\beta_1}{\beta_2} \frac{N_b}{N_a} = \beta_1$ -(3) とすれば、初期の $\frac{N_b}{N_a}$ の勾配から $\beta_1$ が得られる。すなはち図-2の直線から $\beta_1 = 4.8/\text{min} = 0.08/\text{sec}$ となる。次に $\beta_2^* = \beta_2 N_a \approx 1$ と $\beta_2^*$ を仮定し(1)(2)式を数値計算して図-2の曲線を得た。これより、 $\beta_2^* = 0.065$ 、 $\beta_2 = \beta_2^* / N_a = 8.8 \times 10^{-3}$ が得られる。よつて飽和滞留粒子濃度 $N_{bs}$ は $\frac{dN_b}{dt} = 0$ より $N_{bs} = 1/\beta_2^* = 0.11 \text{ g/cm}^3$ 、滞留粒子のかけた体積濃度は $N'_{bs} = N_{bs}/S_p = 0.07 \text{ cm}^3/\text{g}$ -(4)、これは浸透層の空げき体積の19%( $= N'_{bs}/\varepsilon_0$ )-(5)となる。

次に浸透層に粒径2.41mmのガラスビーズ( $\varepsilon_0=0.384$ )、懸濁粒子に約0.2mmのガラスビーズ( $S_p=2.50 \varepsilon_0=0.407$ )を用いて実験1、初期透水係数0.22cm/sec、流入濃度 $N_a = 0.001 \text{ g/cm}^3$ 、攪拌時間60分で透水係数の変化がなく、滞留が進行しなくて、下と考えられないので、全層飽和に達しないところ、この時の滞留粒子量を実測し、146gを得た。浸透層全容積 $40 \times 86.59 \text{ cm}^3$ より、飽和滞留粒子濃度 $N_{bs} = 0.042 \text{ g/cm}^3$ 、(4)(5)式より浸透層初期空げきの7%で飽和に達するといえる。

3. 2次元の実験 図-3の2次元堤体を想定した実験装置で、浸透層粒子径2.41mm、懸濁粒子径0.2mmの両者とともにガラスビーズを用ひ、目づまり

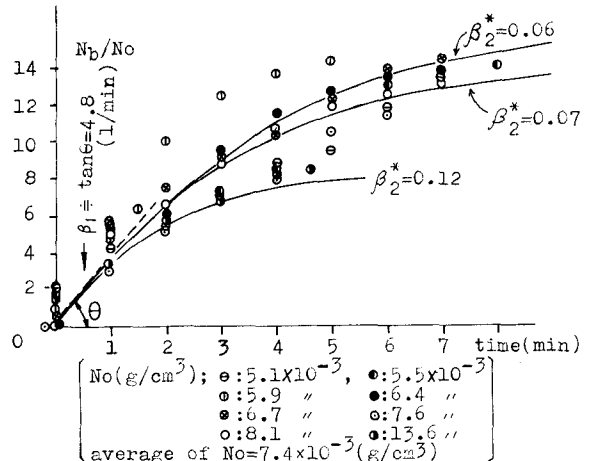


図-2 滞留粒子濃度の時間変化  
(計算値と実測値)

の進行工潮にて。実験1.(図-4a)は、上流側水深を  $H_0 = 44.0\text{cm}$ 、下流側水深を  $H_1 = 39.8\text{cm}$  にし、初期流量  $Q_0 = 184.1\text{cm}^3/\text{sec}$  で行なった。浸透層の透水係数は  $K = 3.4\text{cm/sec}$  である。実験2.(図-4b)は、 $H_0 = 43.8\text{cm}$ ,  $H_1 = 27.0\text{cm}$ ,  $Q_0 = 427.3\text{cm}^3/\text{sec}$  である。目つまり進行の肉眼的観察結果を図-4a,bに示す。図の  $X_f$  は目つまり部への先端である。目つまり部は、

懸濁粒子が浸透層の空げき全体にゆくつまつた状態を呈し、浸透流は目つまり部内をわざわざ逆流し、下部では目つまり部を越えて流れ去る。図-4bの点線は100分後の目つまり部内の流線の方向である。図-5abは流量  $Q$  と、流入濃度  $C_0$  及び目つまり部の高さ  $h$  の時間変化である。次に実験2の目つまり部からサンプリングし、懸濁粒子量を測定し目つまり部へ単位体積当たり重量  $0.40\text{g/cm}^3$  を得た。したがって、懸濁粒子が浸透層の空げき全体に一様につまっているとして、層内の懸濁粒子の空げき率は  $1 - \frac{0.40}{S_p \cdot \varepsilon_0} = 0.58$  となり、 $\varepsilon_p = 0.407$ (メスシリンドー内に充填した状態)になると、ややゆるい状態で目つまりを生じていいことにする。

4. 考察 同じ径の粒子を用いた1次元と2次元の実験の比較から、流速に伴う懸濁粒子の沈降速度が無視できよい程大きい時、流れの方向が垂直下方の場合と、そぞぞりの場合、目つまりの発生機構が異なるようである。

(本実験での  $0.2\text{mm}$  径ガラスビーズの静水中の沈降速度は実測(直角)で  $40\text{cm/sec}$ 、2次元の実験2の初期浸透実験水平流速は  $1.3\text{cm/sec}$  である。) すなはち懸濁粒子の沈降方向と流れの方向が一致する時は、粒子の重なりで形成される浸透流路がそれまで開け空げきに形成されたのみで飽和に達し、それ以上の懸濁を行われなくなる。一方、粒子の沈降方向と流れの方向が異なる場合、目つまりは沈没作用の原因が大きくなり、懸濁粒子が下部で浸透層の空げきにて部分を埋め、はっきりして目つまり層を形成し、透水性は大きく変化する。この目つまり部の形状は、流速と懸濁粒子沈降速度  $a_p$  及び粒径  $d_p$  などに依存することが確認された。

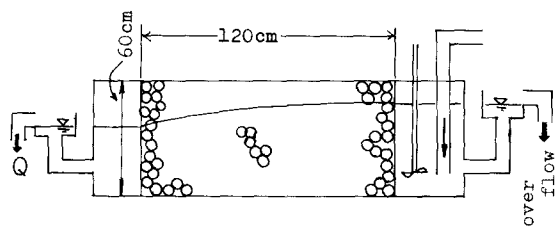


図-3 実験装置(2次元)

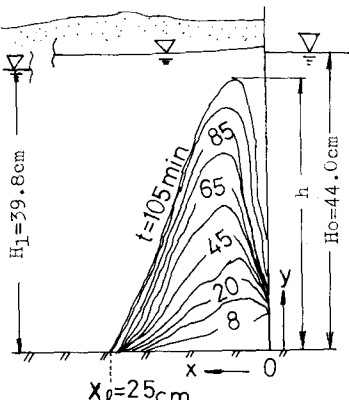


図-4a. 目つまり進行状況(実験1)

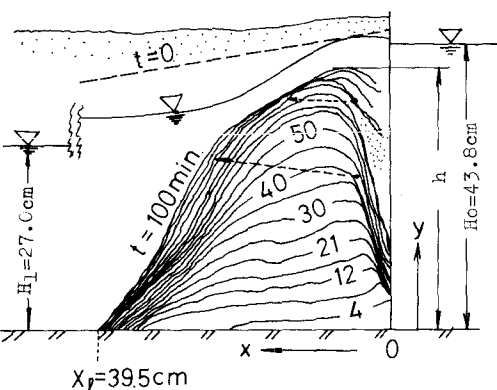


図-4b 目つまり進行状況(実験2)

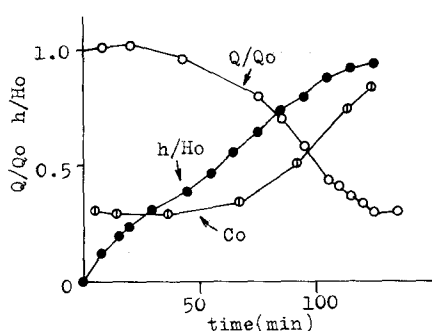
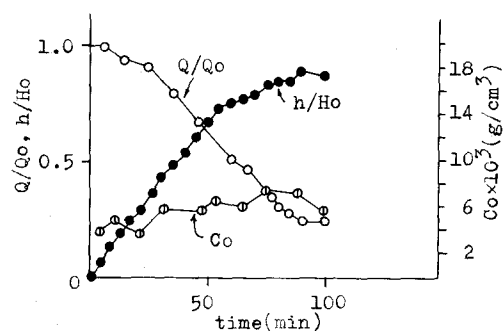


図-5a(実験1)



流量、目つまり部高さ、流入濃度の時間変化

図-5b(実験2)

#### 参考文献

- 1) ヨークス、M.T. 「浸透池の目つまりに関する二、三の考察」 第30回年譲
- 2) Robert C. Rice "Soil clogging during infiltration of secondary effluent" Journal WPCF Vol.46, No.4, April 1974